



Понижающий преобразователь напряжения с током нагрузки 0,5 А

(функциональный аналог LM2574 ф. TI, США)

Описание

Серия регуляторов IL2574 представляет собой интегральные схемы, которые обеспечивают все активные функции понижающего импульсного стабилизатора с током нагрузки 0,5 А. Серия регуляторов IL2574 доступна в версиях с фиксированным выходным напряжением 3,3 В, 5,0 В, 12 В и регулируемым выходным напряжением.

Требуя минимального количества внешних компонентов, эти регуляторы просты в использовании и включают внутреннюю компенсацию частоты и генератор фиксированной частоты.

Серия IL2574 представляет собой высокоэффективную замену популярных трехвыводных линейных регуляторов. Из-за своей высокой эффективности медные дорожки на печатной плате обычно являются единственным необходимым теплоотводом.

Стандартная серия катушек индуктивности, оптимизированная для использования с IL2574, доступна от нескольких разных производителей. Эта особенность существенно упрощает конструкцию импульсных блоков питания.

Другие особенности включают гарантированный допуск $\pm 4\%$ на выходное напряжение в пределах заданных входных напряжений и выходной нагрузки, а также $\pm 10\%$ на частоту генератора. Выходной ключ обеспечивает поцикловое ограничение тока, а также тепловое отключение для полной защиты в случае неисправности.

Поставка микросхем проводится:

- IL2574-3.3, IL2574-5.0, IL2574-12, IL2574-AGJ в корпусе MS-012AB (по JEDEC Publication N 95);
- IZ2574-3.3-4, IZ2574-5.0-4, IZ2574-12-4, IZ2574-ADJ-4 в пластинах (неразделенные);
- IZ2574-3.3-5, IZ2574-5.0-5, IZ2574-12-5, IZ2574-ADJ-5 в виде отдельных кристаллов.

Характеристики

- Выходное напряжение: 3,3 В; 5,0 В; 12 В и версия с регулируемым выходным напряжением
- Диапазон выходного напряжения регулируемой версии от 1,23 В до 37 В
- Ток нагрузки 0,5 А
- Входное напряжение до 40 В
- Требуется всего 4 внешних компонента
- Внутренний генератор с фиксированной частотой 52 кГц
- Высока эффективность
- Защита от превышения выходного тока
- Встроенный переключающий транзистор

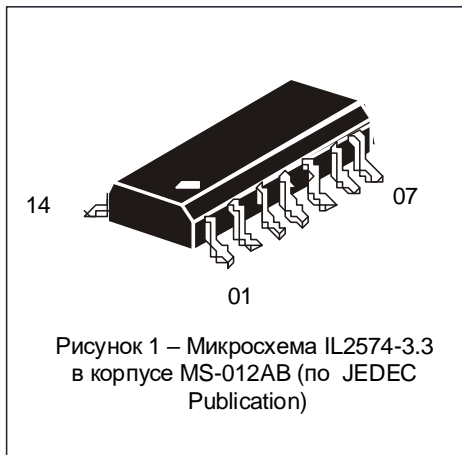


Рисунок 1 – Микросхема IL2574-3.3
в корпусе MS-012AB (по JEDEC
Publication)

Применение

- Простой высокоэффективный понижающий преобразователь напряжения
- Эффективный предрегулятор для линейных регуляторов
- Встроенные импульсные преобразователи

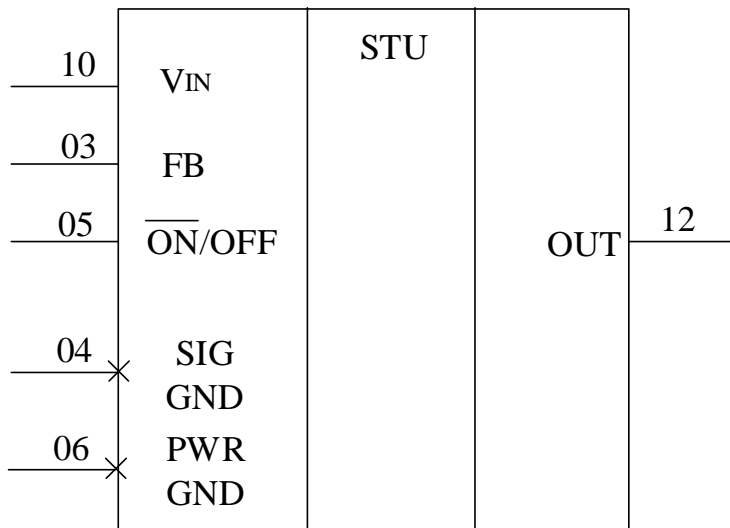


Рисунок 2 – Обозначение выводов в корпусе

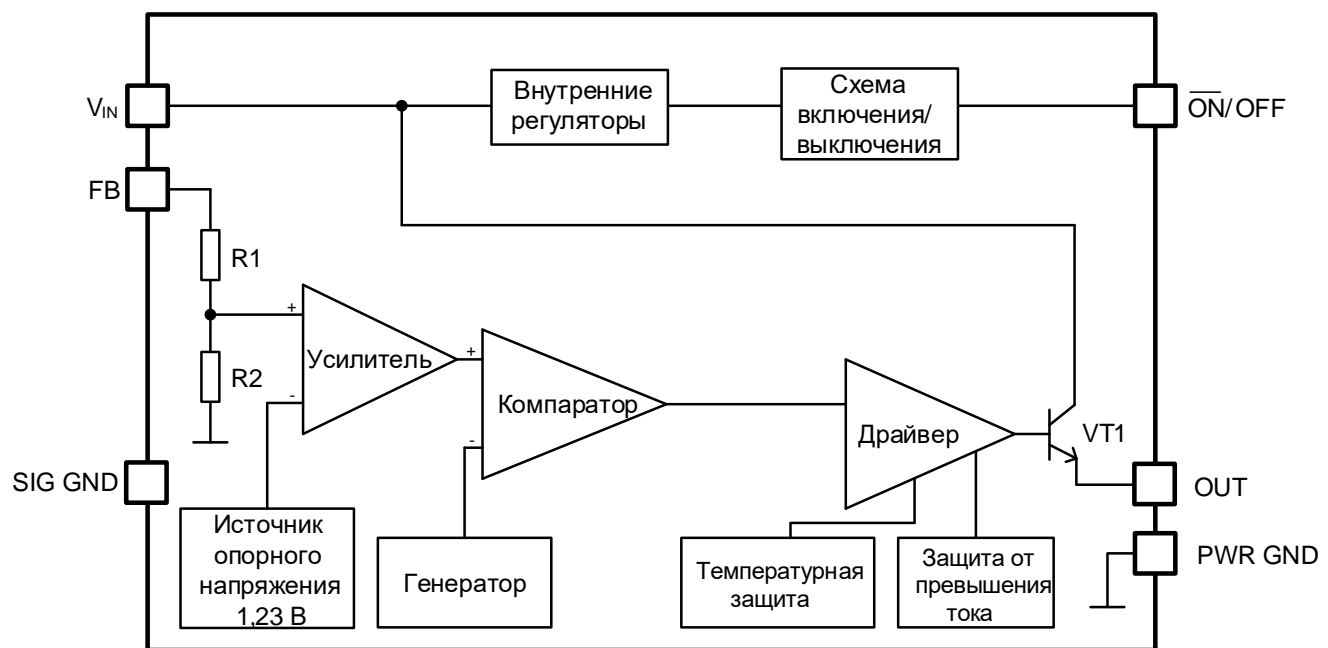
Таблица 1 - Назначение выводов и контактных площадок

Номер контактной площадки	Номер вывода в корпусе	Обозначение	Назначение
IZ2574	IL2574		
01	10	V _{IN}	Вход
02	12	OUT	Выход
08	03	FB	Вход обратной связи
13	04	SIG GND	Общий вывод (маломощный)
15	05	ON/OFF	Вход включения/выключения
16	06	PWR GND	Общий вывод (мощный)
–	01, 02, 07-09, 11, 13, 14	NC*	Свободный вывод

* Свободные выводы не имеют внутреннего соединения, но на плате их следует распаять на общий вывод для лучшего теплоотвода



INTEGRAL



R1 – резистор сопротивлением:

- 2,02 кОм для версии 3.3;
- 3,69 кОм для версии 5.0;
- 10,56 кОм для версии 12;
- 0 Ом для версии ADJ

R2 – резистор сопротивлением 1,2 кОм

VT1 – переключающий транзистор

Для версии ADJ резистор R2 не подключен

Рисунок 3 – Схема электрическая структурная



INTEGRAL

Таблица 2 - Предельные электрические режимы

Обозначение параметра	Наименование параметра, единицы измерения	Предельный режим при эксплуатации		Единица измерения
		не менее	не более	
U_{IN}	Входное напряжение	0	45	В
U_{OUT}	Напряжение на выводе Output	-1,0	U_{OUT}	В
$U_{ON/OFF}$	Напряжение на выводе ON/OFF	-0,3	25	В
P_{tot}	Рассеиваемая мощность ¹⁾	-	1,25	Вт

¹⁾ При температуре среды $T_A = 25$ °C.

Мощность, рассеиваемую микросхемой, P_{tot} , Вт, при температуре среды T_A от плюс 25 до плюс 85 °C определяют по формуле

$$P_{tot} = (125 - T_A) / R_{th\ j-a}, \quad (1)$$

где 125 – температура кристалла, °C;

T_A – температура среды, °C;

$R_{th\ j-a}$ – тепловое сопротивление кристалл - среда, °C/Вт

$R_{th\ j-a} \leq 100$ °C/Вт

Таблица 3 – Предельно-допустимые электрические режимы

Обозначение параметра	Наименование параметра, единицы измерения	Предельный режим при эксплуатации		Единица измерения
		не менее	не более	
U_{IN}	Входное напряжение	4,75	40	В
U_{OUT}	Напряжение на выводе Output	-1,0	-	В
$U_{ON/OFF}$	Напряжение на выводе ON/OFF	-0,8	U_{OUT}	В
P_{tot}	Рассеиваемая мощность ¹⁾	-	1,00	Вт

¹⁾ При температуре среды $T_A = 25$ °C.

Мощность, рассеиваемую микросхемой, P_{tot} , Вт, при температуре среды T_A от плюс 25 до плюс 85 °C определяют по формуле (1)



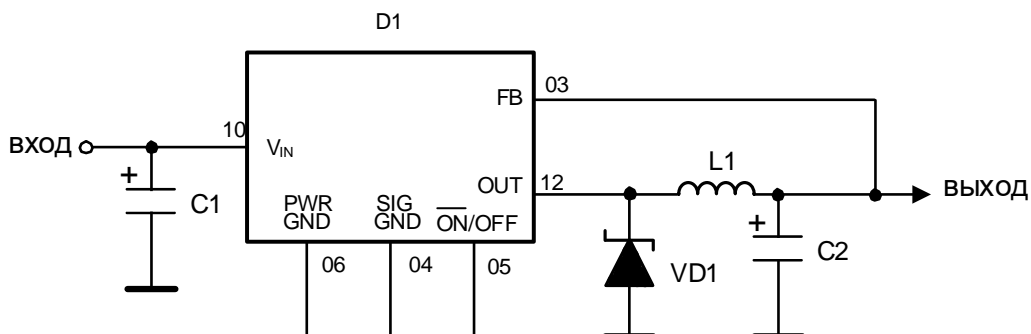
Таблица 4 - Электрические параметры микросхем

Характеристики со стандартным шрифтом указаны для $T_J = 25^\circ\text{C}$, а данные, выделенные жирным шрифтом применяются во всем диапазоне рабочих температур.

Версия	Обозн.	Параметр	Режим измерений	Норма		Ед. изм.
				Мин	Макс	
IL2574-ADJ	U_{FB}	Напряжение обратной связи	$U_{IN} = 12 \text{ В}; I_{LOAD} = 100 \text{ мА}$	1,217	1,243	В
			$7,0 \leq U_{IN} \leq 40 \text{ В}; 0,1 \text{ А} \leq I_{LOAD} \leq 0,5 \text{ А}; U_{OUT} = 5,0 \text{ В}$	1,193	1,267	
	I_B	Ток смещения обратной связи	$U_{IN} = 12 \text{ В}; U_{FB} = 1,3 \text{ В}$	1,180	1,280	нА
IL2574-3.3	U_{OUT}	Выходное напряжение	$U_{IN} = 12 \text{ В}; I_{LOAD} = 100 \text{ мА}$	3,234	3,366	В
			$4,75 \leq U_{IN} \leq 40 \text{ В}; 0,1 \leq I_{LOAD} \leq 0,5 \text{ А}$	3,168	3,432	
				3,135	3,465	
IL2574-5	U_{OUT}	Выходное напряжение	$U_{IN} = 12 \text{ В}; I_{LOAD} = 100 \text{ мА}$	4,900	5,100	В
			$7,0 \leq U_{IN} \leq 40 \text{ В}; 0,1 \leq I_{LOAD} \leq 0,5 \text{ А}$	4,800	5,200	
				4,750	5,250	
IL2574-12	U_{OUT}	Выходное напряжение	$U_{IN} = 25 \text{ В}; I_{LOAD} = 100 \text{ мА}$	11,76	12,24	В
			$15 \leq U_{IN} \leq 40 \text{ В}; 0,1 \leq I_{LOAD} \leq 0,5 \text{ А}$	11,52	12,48	
				11,40	12,60	
Для всех версий	f_{osc}	Частота генератора	$U_{IN} = 12 \text{ В}$	47	58	кГц
				42	63	
	U_{SAT}	Напряжение насыщения	$U_{FB} = 0 \text{ В}; U_{IN} = 12 \text{ В}; I_{OUT} = 0,5 \text{ А}$ без внешней цепи	-	1,2	В
				-	1,4	
	I_{CL}	Ограничение тока	$U_{FB} = 0 \text{ В}; U_{IN} = 12 \text{ В}$ без внешней цепи	0,7	1,6	А
				0,65	1,8	
	$I_{L(0)}$	Ток утечки на выходе	$U_{FB}^*; U_{IN} = 40 \text{ В}; U_{OUT} = 0 \text{ В}$ без внешней цепи	-	2	мА
	$I_{L(-1)}$		$U_{FB}^*; U_{IN} = 40 \text{ В}; U_{OUT} = -1,0 \text{ В}$ без внешней цепи	-	30	
	I_Q	Ток потребления	$U_{FB}^*; U_{IN} = 12 \text{ В}$	-	10	мА
	I_{STBY}	Ток потребления в ждущем режиме	$U_{FB} = 0 \text{ В}; U_{IN} = 40 \text{ В}; U_{\overline{ON/OFF}} = 5,0 \text{ В}$	-	200	мкА
	U_{IL}	Входное напряжение низкого уровня $\overline{ON/OFF}$	$U_{FB} = 0 \text{ В}; U_{IN} = 12 \text{ В}$	-	1,0	В
	U_{IH}	Входное напряжение высокого уровня $\overline{ON/OFF}$	$U_{FB} = 0 \text{ В}; U_{IN} = 12 \text{ В}$	-	0,8	
	I_{IH}	Входной ток высокого уровня $\overline{ON/OFF}$	$U_{FB} = 0 \text{ В}; U_{IN} = 12 \text{ В}; U_{\overline{ON/OFF}} = 5,0 \text{ В}$	2,2	-	В
	I_{IL}	Входной ток низкого уровня $\overline{ON/OFF}$	$U_{FB} = 0 \text{ В}; U_{IN} = 12 \text{ В}; U_{\overline{ON/OFF}} = 0 \text{ В}$	2,4	-	
				-	30	мкА
				-	10	мкА

* $V_{FB} = 12 \text{ В}$ для IL2574-ADJ, IL2574-3.3, IL2574-5 и $V_{FB} = 25 \text{ В}$ для IL2574-12





C1 – алюминиевый электролитический конденсатор (22 мкФ, 50 В)

C2 – алюминиевый электролитический конденсатор (220 мкФ, 25 В)

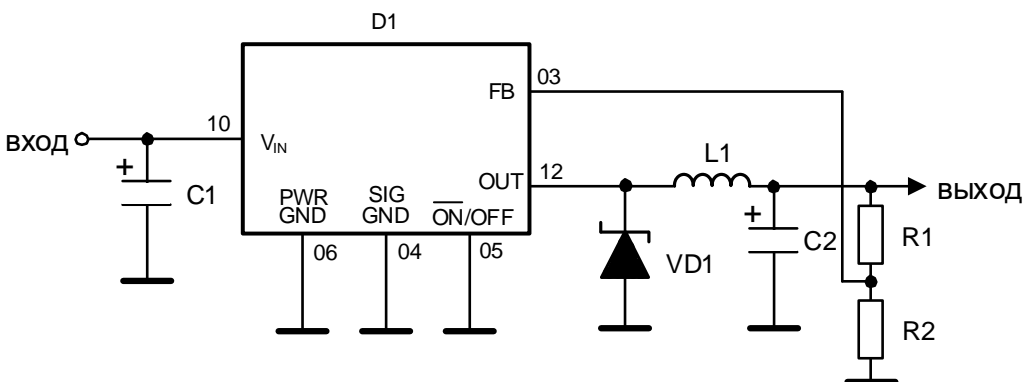
D1 – микросхема

L1 – катушка индуктивности (330 мкГн)

VD1 – диод Шоттки мощный 1,0 А, быстродействующий

В зависимости от величины входного напряжения, тока нагрузки номиналы компонентов C1, C2, L1, VD1 могут меняться.

Рисунок 4 – Типовая схема применения для микросхем IL2574-3.3, IL2574-5.0, IL2574-12



C1 – алюминиевый электролитический конденсатор (22 мкФ, 50 В)

C2 – алюминиевый электролитический конденсатор (220 мкФ, 25 В)

D1 – микросхема

L1 – катушка индуктивности (330 мкГн)

VD1 – диод Шоттки мощный 1,0 А, быстродействующий

$$R1 = R2 \cdot \left(\frac{U_{OUT}}{1,23 \text{ В}} - 1 \right)$$

R2 – между 1,0 кОм и 5,0 кОм

В зависимости от величины входного напряжения, тока нагрузки номиналы компонентов C1, C2, L1, VD1 могут меняться.

Рисунок 5 – Типовая схема применения для микросхем IL2574-ADJ



INTEGRAL

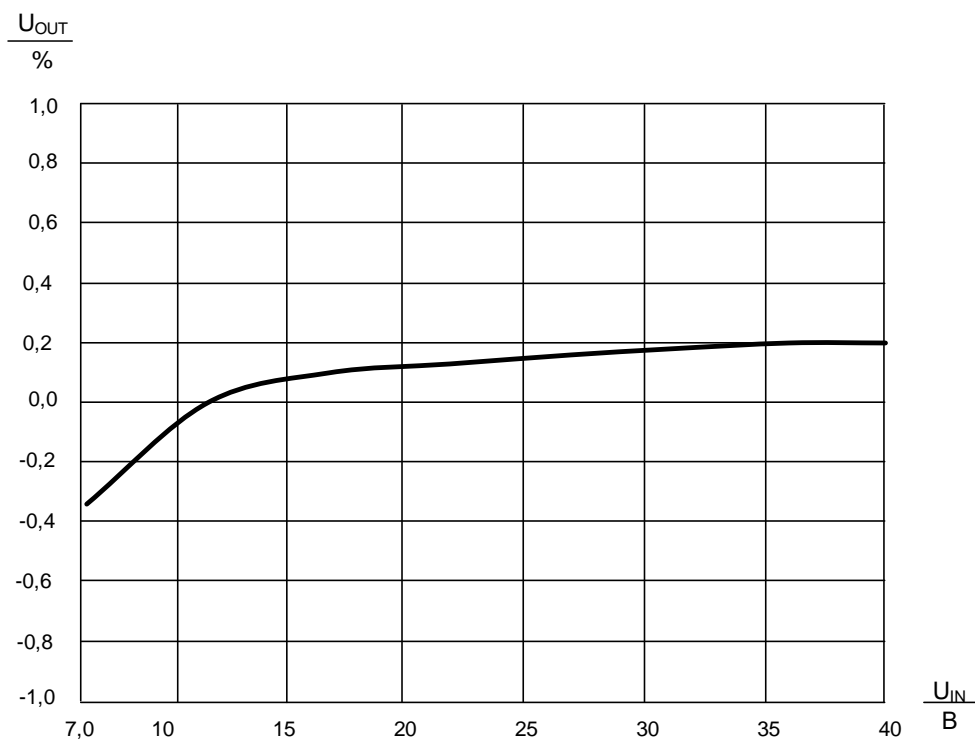


Рисунок 6 – Зависимость изменения выходного напряжения U_{OUT} от входного напряжения U_{IN} при токе нагрузки $I_{LOAD} = 100$ мА для микросхем IL2574-3.3, IL2574-5.0, IL2574-ADJ

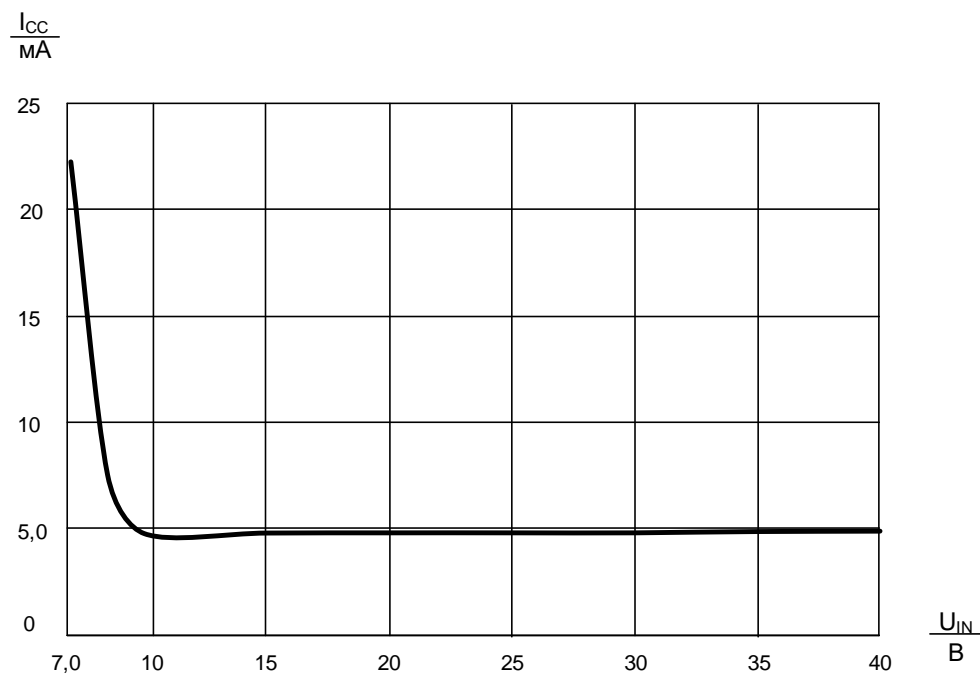


Рисунок 7 – Зависимость тока потребления I_{CC} от входного напряжения U_{IN}

**INTEGRAL**

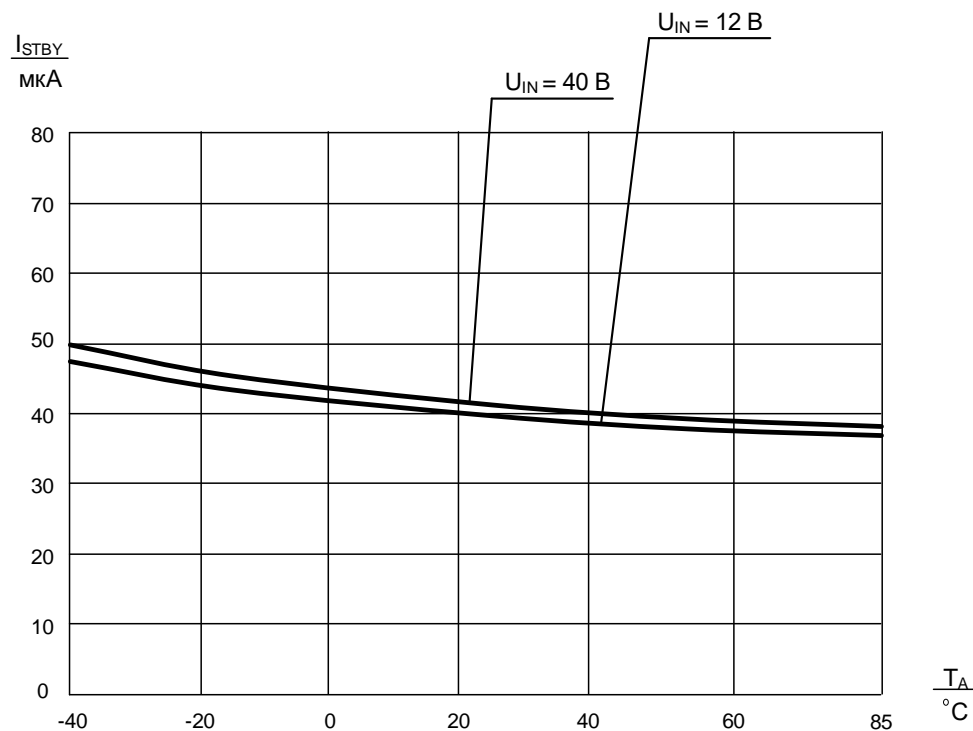


Рисунок 8 – Зависимость тока потребления в ждущем режиме I_{STBY} от температуры среды T_A

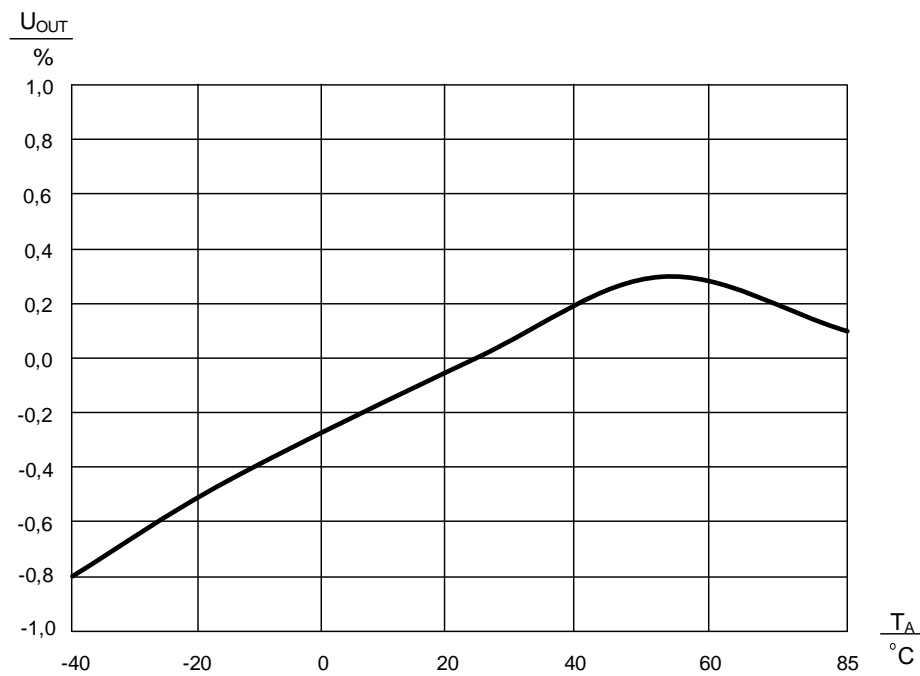


Рисунок 9 – Зависимость изменения выходного напряжения U_{OUT} от температуры среды T_A при входном напряжении $U_{IN} = 20$ В и токе нагрузки $I_{LOAD} = 100$ мА



INTEGRAL

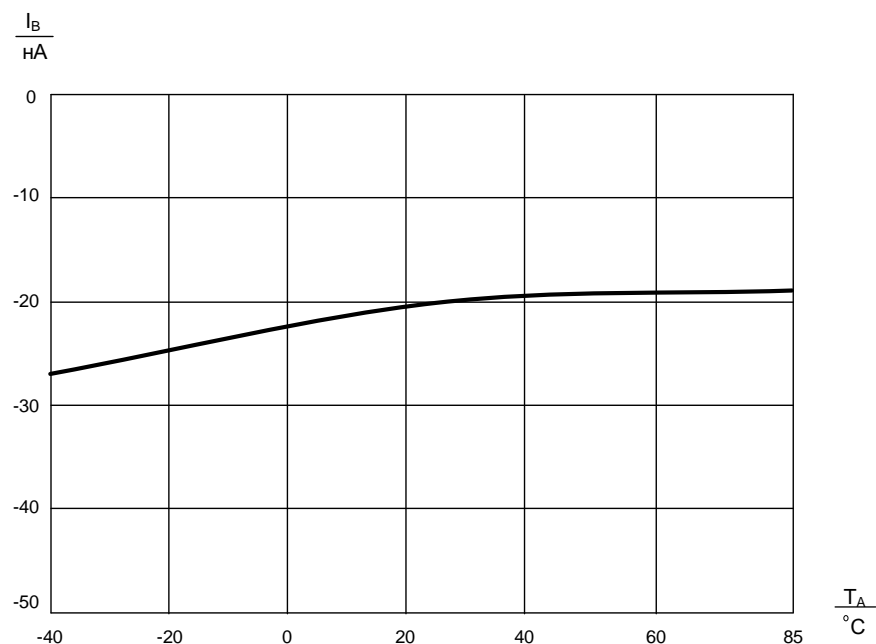


Рисунок 10 – Зависимость тока смещения по выводу обратной связи I_B от температуры среды T_A для микросхем IL2574-ADJ

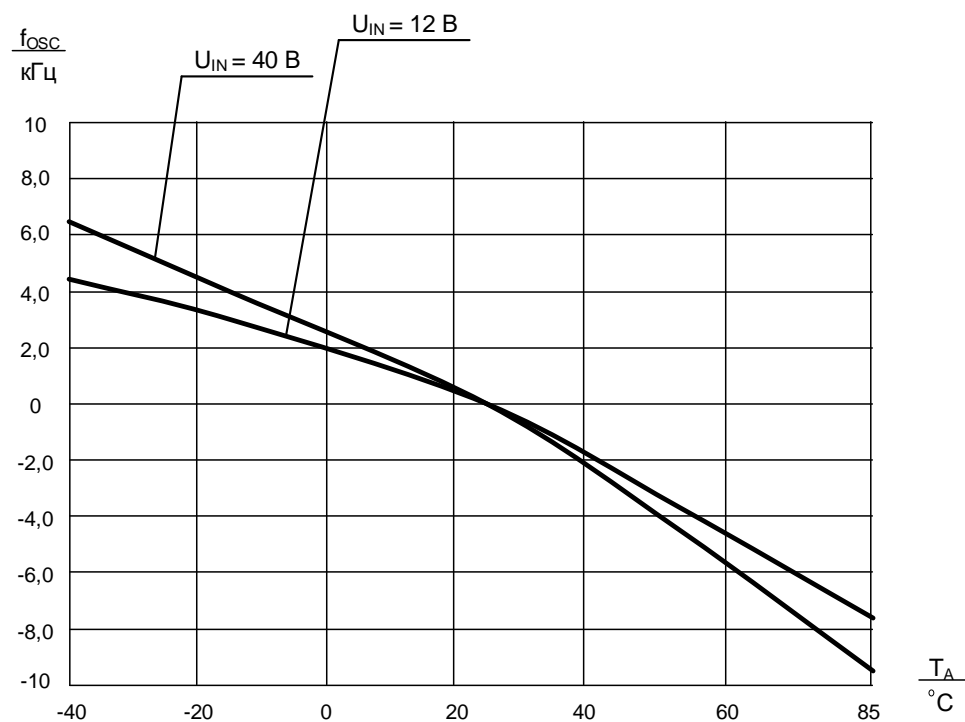


Рисунок 11 – Зависимость изменения частоты генератора f_{OSC} от температуры среды T_A



INTEGRAL

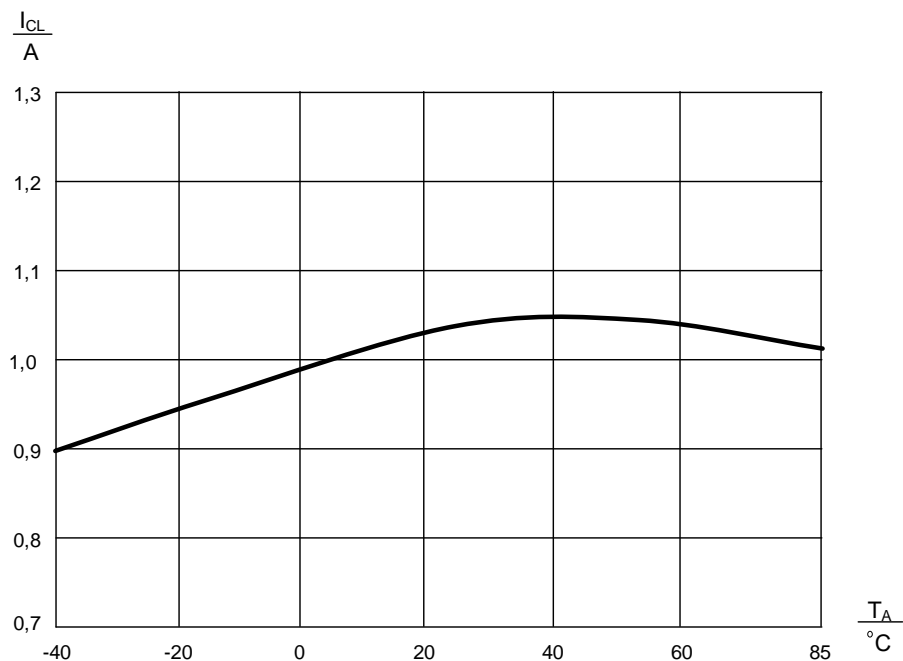


Рисунок 12 – Зависимость ограничения тока I_{CL} от температуры среды T_A при входном напряжении $U_{IN} = 25$ В

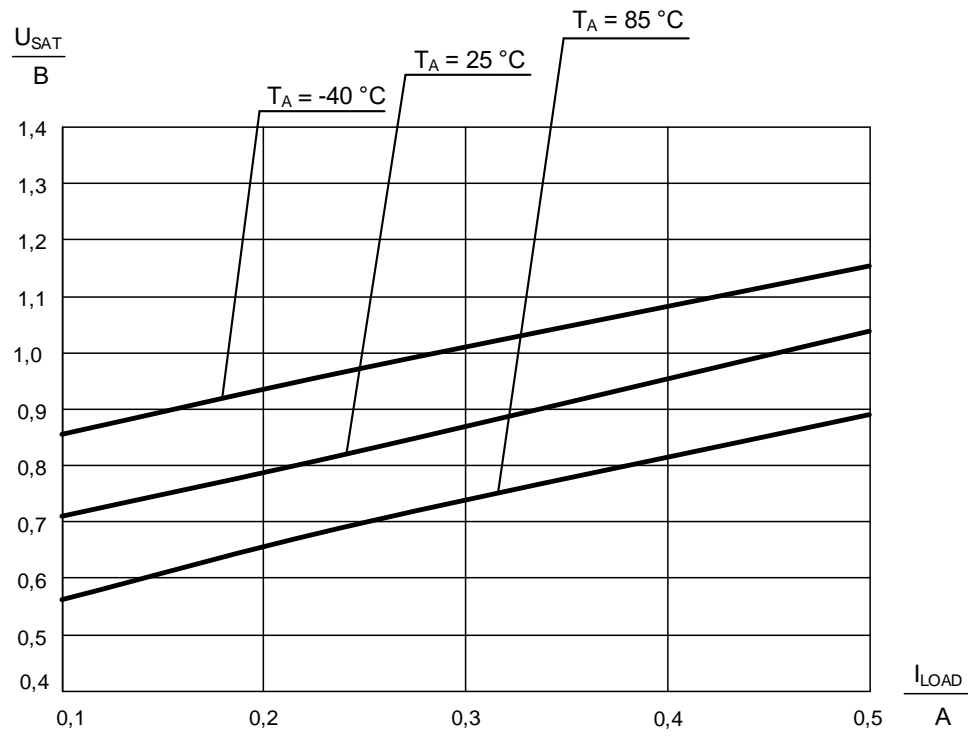


Рисунок 13 – Зависимость напряжения насыщения U_{SAT} от тока нагрузки I_{LOAD}



INTEGRAL

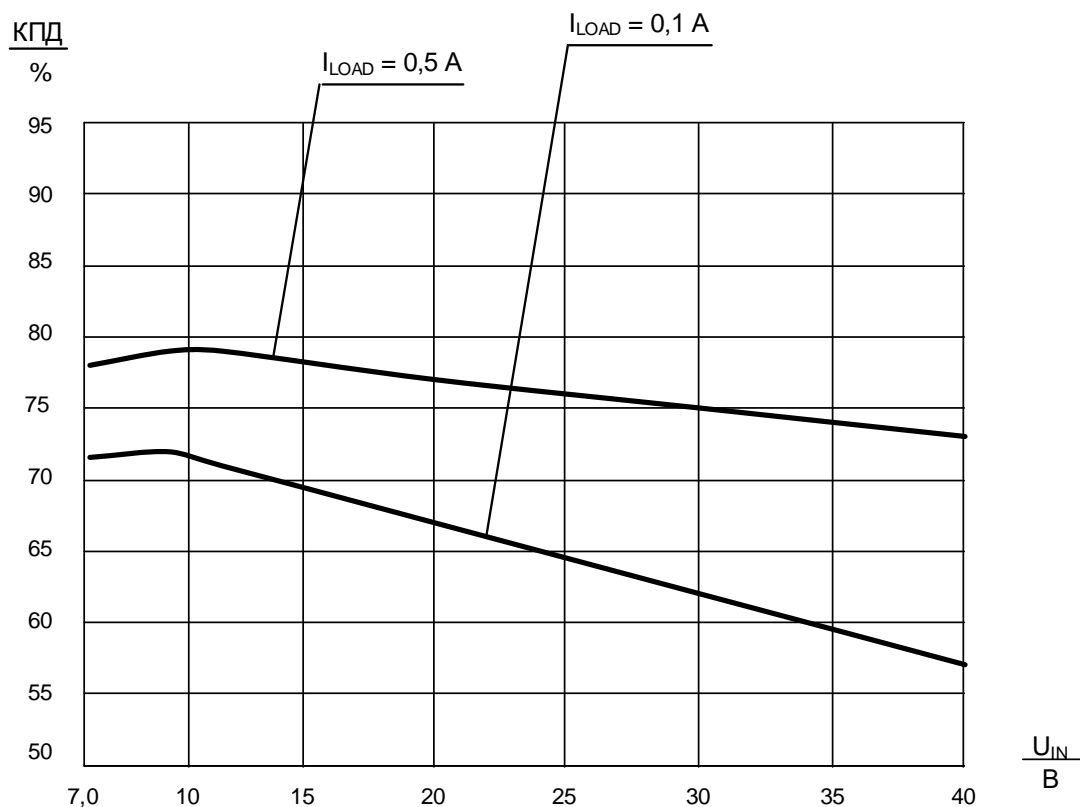


Рисунок 14 – Зависимость КПД от входного напряжения U_{IN}
для выходного напряжения $U_{OUT} = 5,0 \text{ В}$



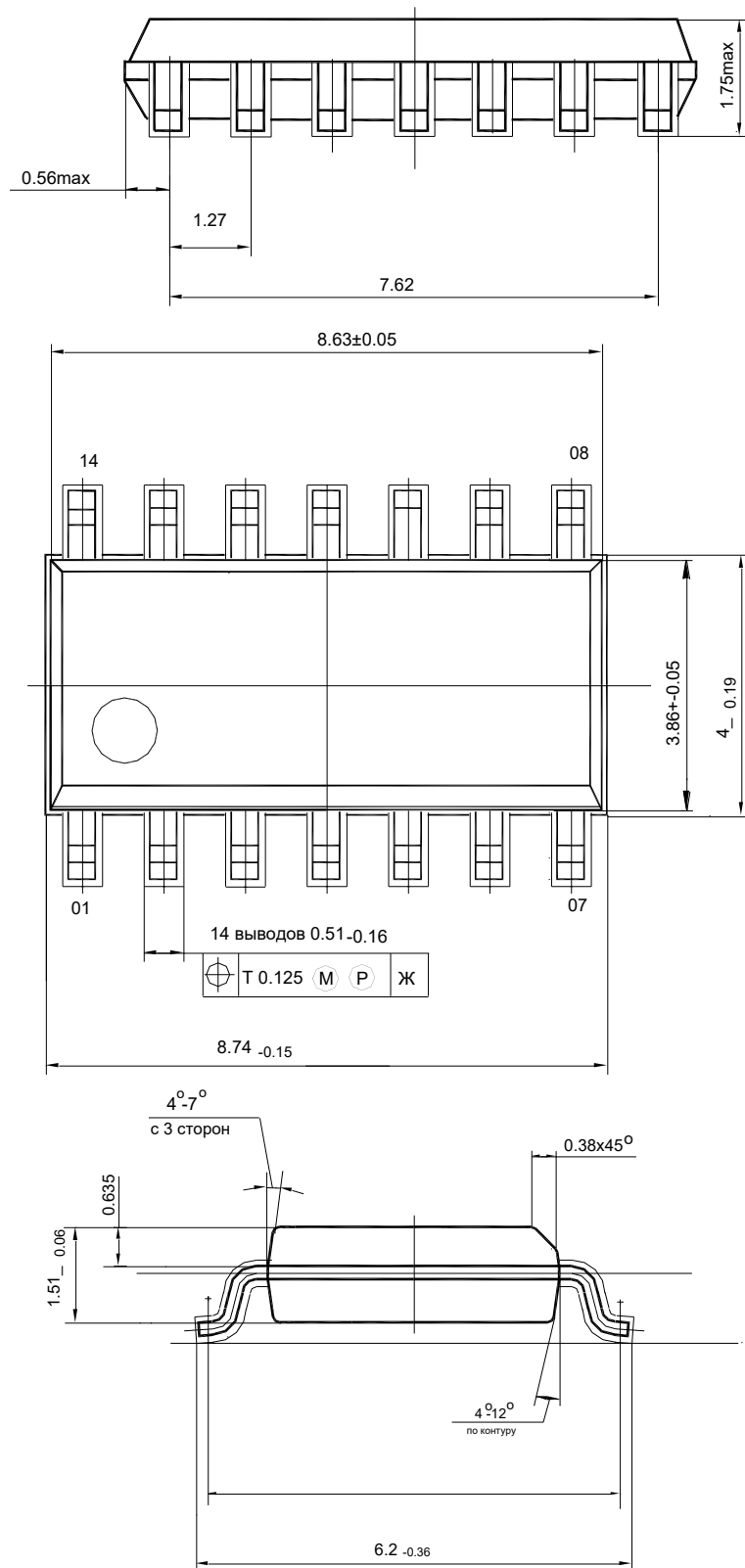
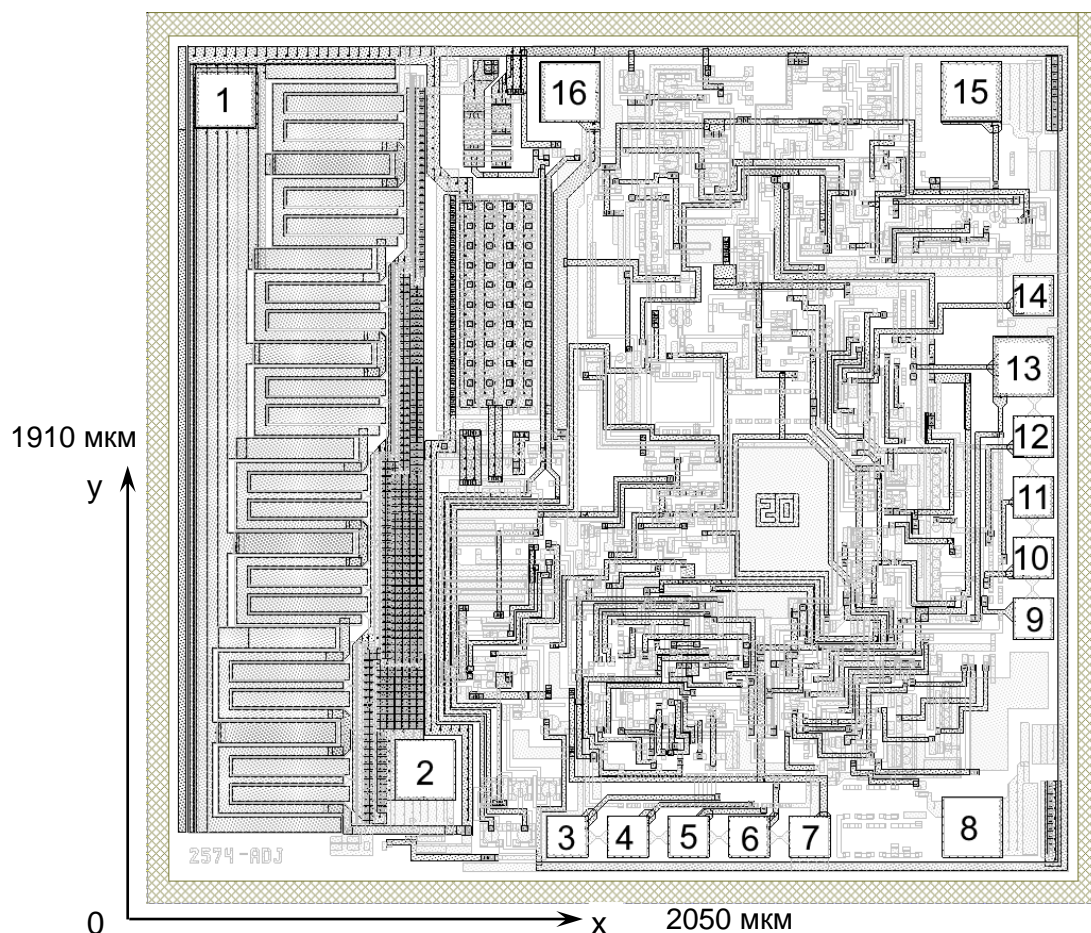


Рисунок 15 – Габаритные размеры корпуса MS-012AB (по JEDEC Publication N 95)



INTEGRAL



Примечание: Толщина пластины и металлизация обратной стороны должны быть указаны в заказе на поставку.

Рисунок 16 – Внешний вид кристалла

Таблица 5 - Координаты контактных площадок

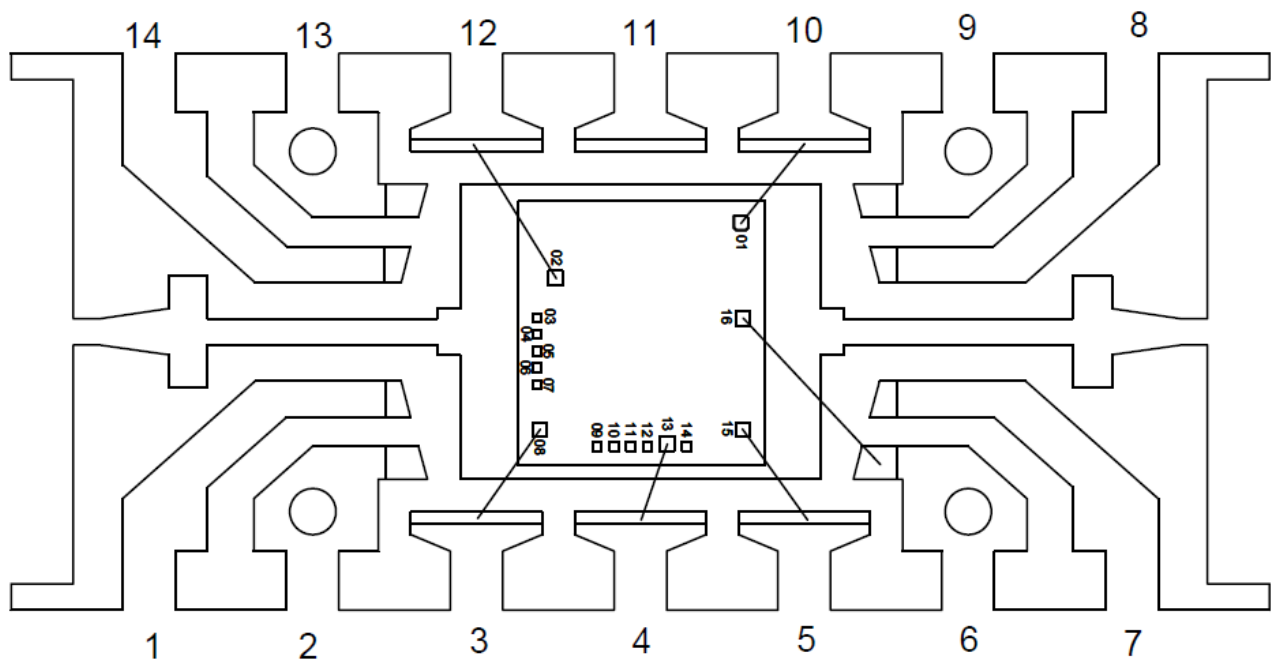
Номер контактной площадки	Координаты, мкм			
	нижний левый угол		правый верхний угол	
	х	у	х	у
1	115.0	1670.0	227.0	1782.0
2	543.0	232.0	655.0	344.0
8	1718.0	110.5	1830.0	222.5
13	1827.5	1096.5	1939.5	1208.5
15	1715.0	1684.0	1827.0	1796.0
16	855.0	1684.0	967.0	1796.0

Примечание - Указаны координаты нижнего левого угла и верхнего правого угла контактных площадок. Координаты даны по слою «Пассивация»



Таблица 6

Состав металла на планарной стороне		Толщина металла на планарной стороне, мкм
Металлизация	AlSiCu	0,55±0,05
Состав металла на непланарной стороне		Толщина металла на непланарной стороне, мкм
Металлизация	Ti	0,10±0,02
	Ni	0,5±0,1
	Ag	0,6±0,1



(рекомендуемый диаметр проволоки 30мкм)

Рисунок 17 – Рекомендуемая схема разварки кристалла в корпус MS-012AB (по JEDEC Publication N 95)

**INTEGRAL**